

1/31

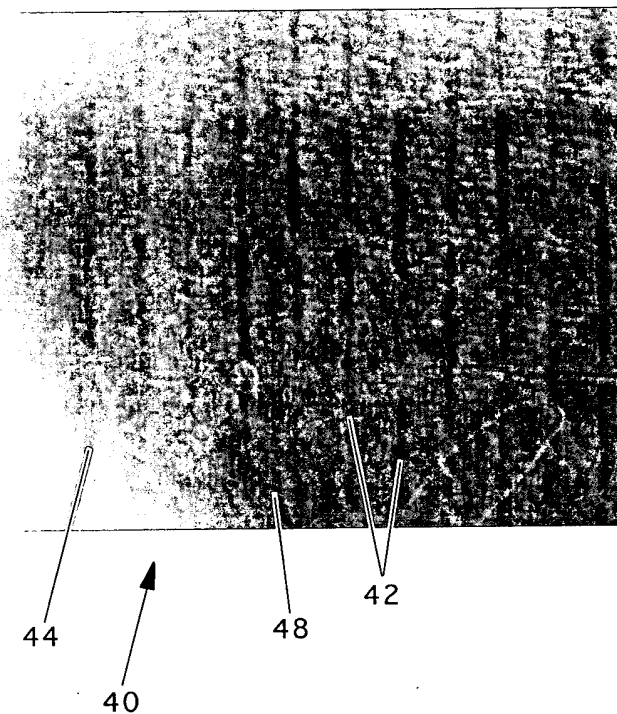


Fig. 1

2/31



Fig. 2

3/31

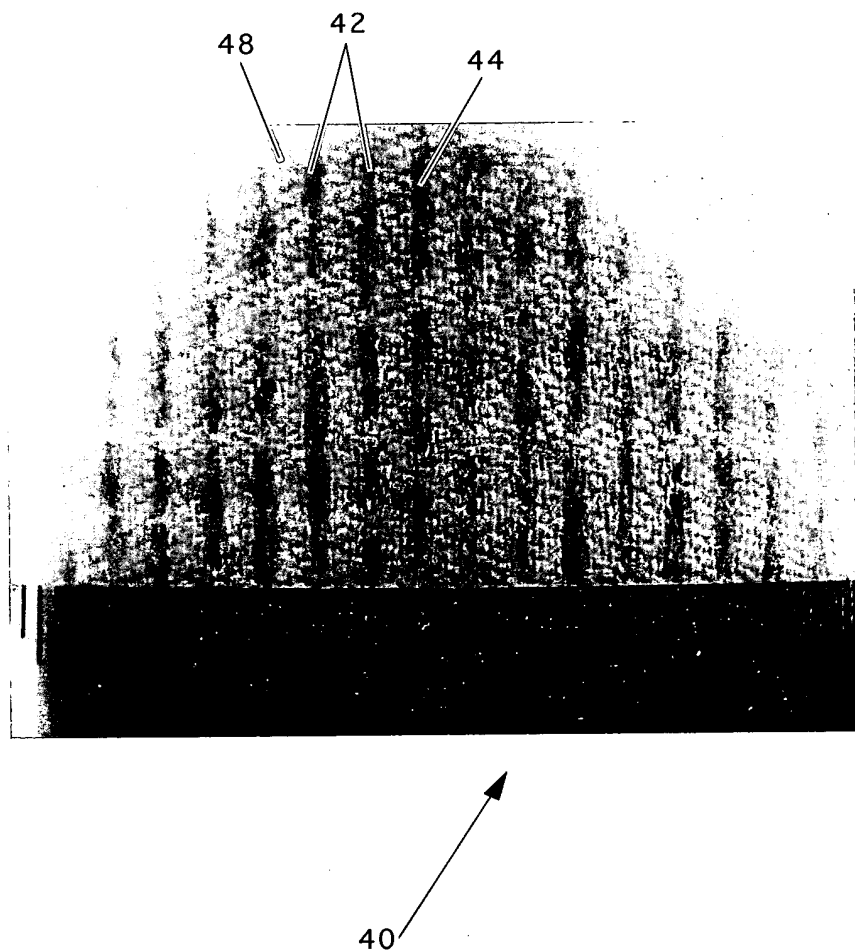


Fig. 3

4/31

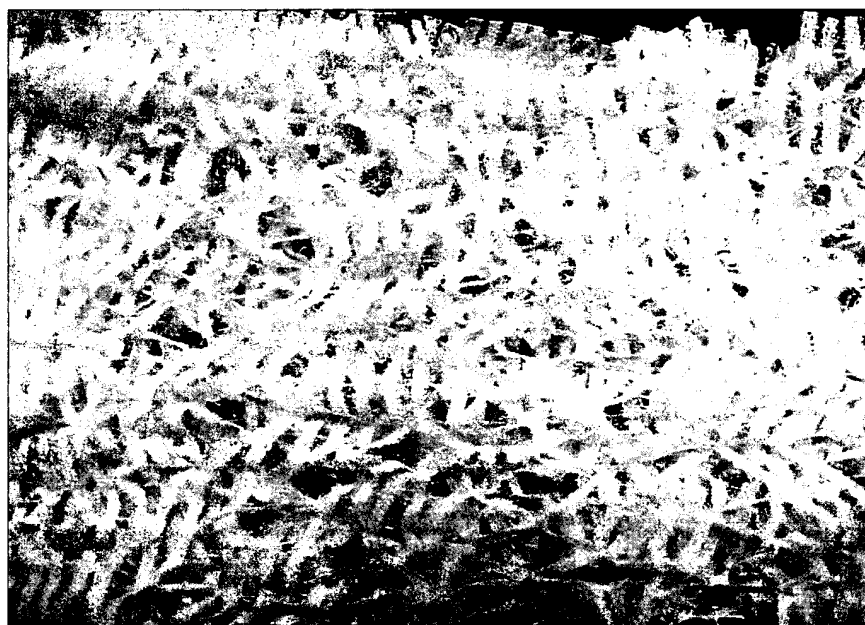


Fig. 4

5/31

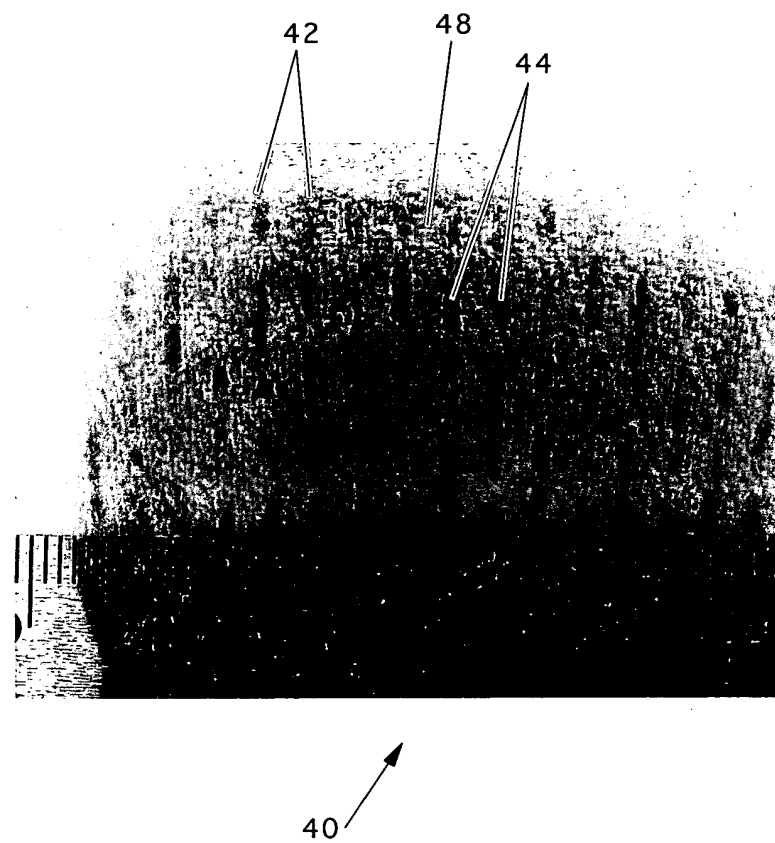


Fig. 5

6/31

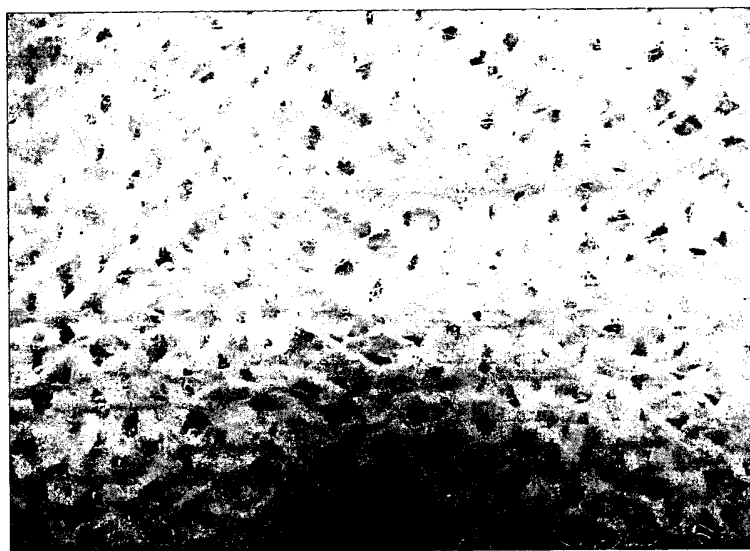


Fig. 6

7/31

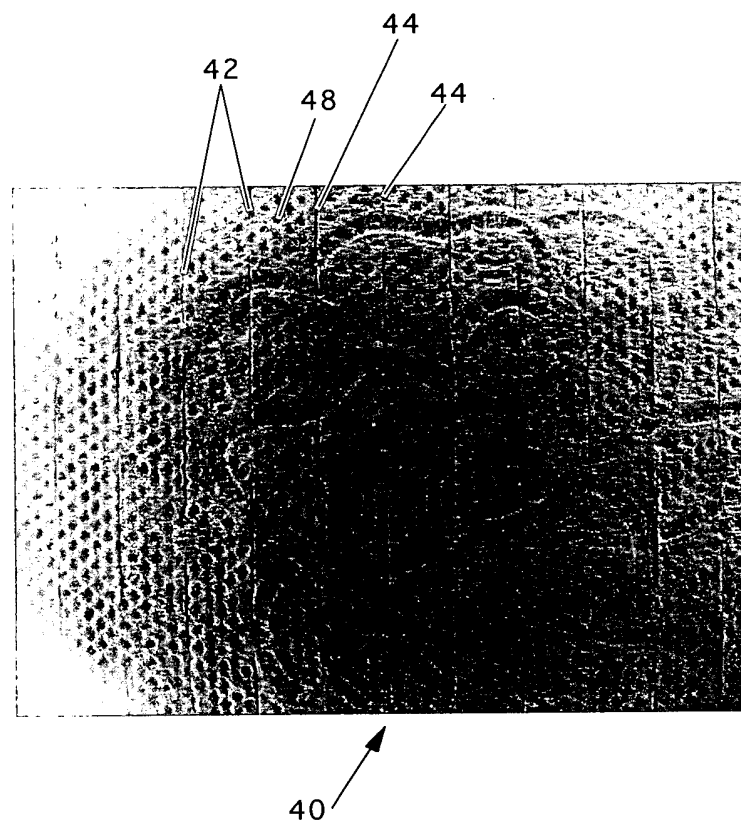


Fig. 7

8/31



Fig. 8

9/31

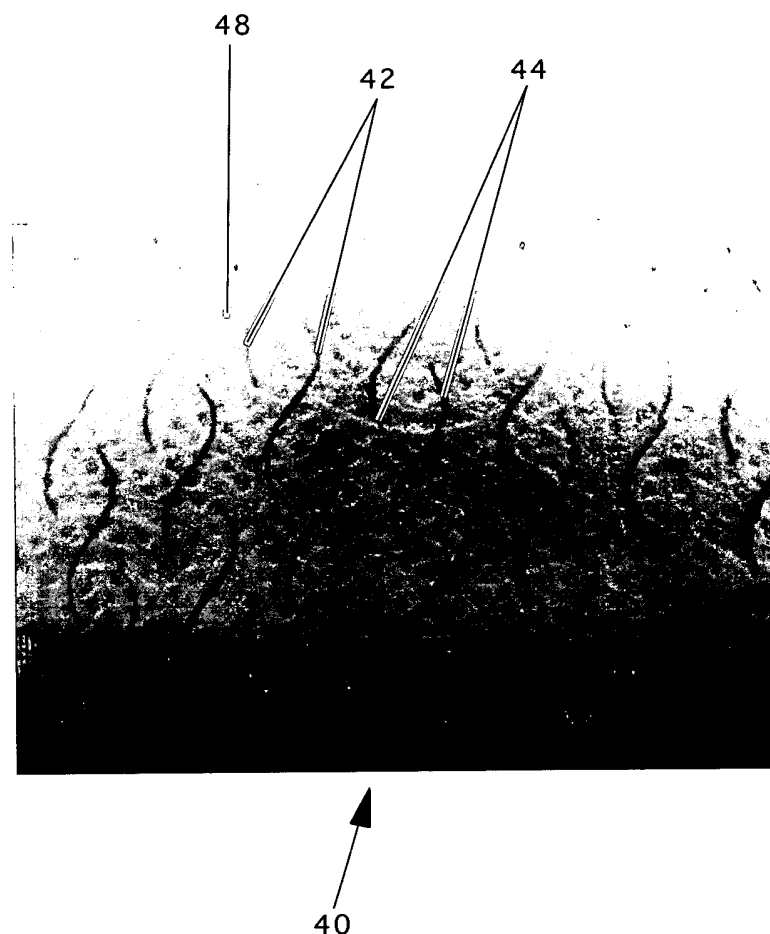


Fig. 9

10/31



Fig. 10

11/31

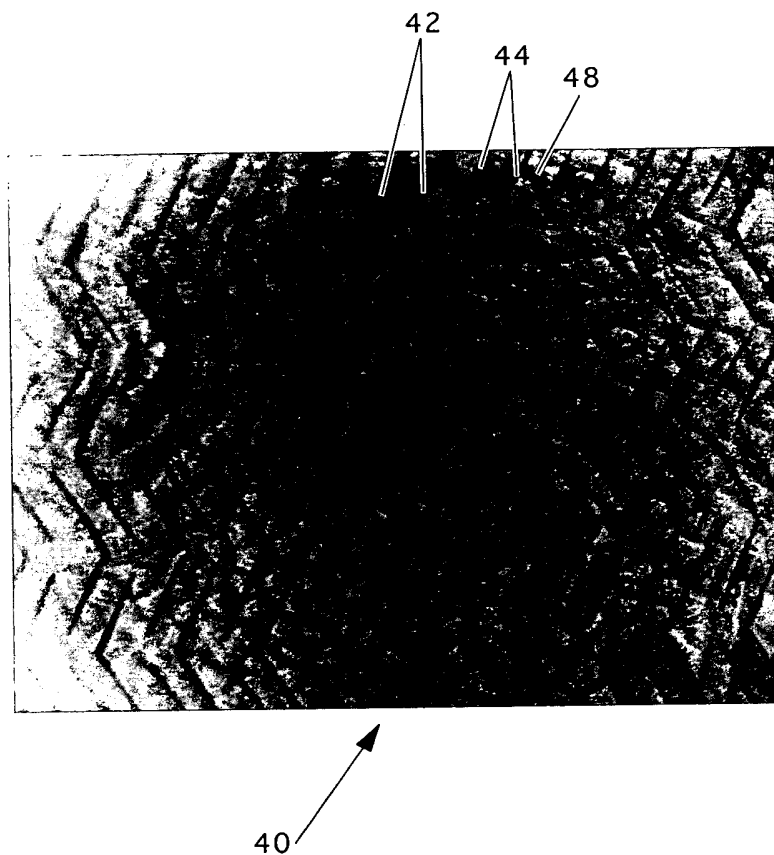


Fig. 11

12/31



Fig. 12

13/31

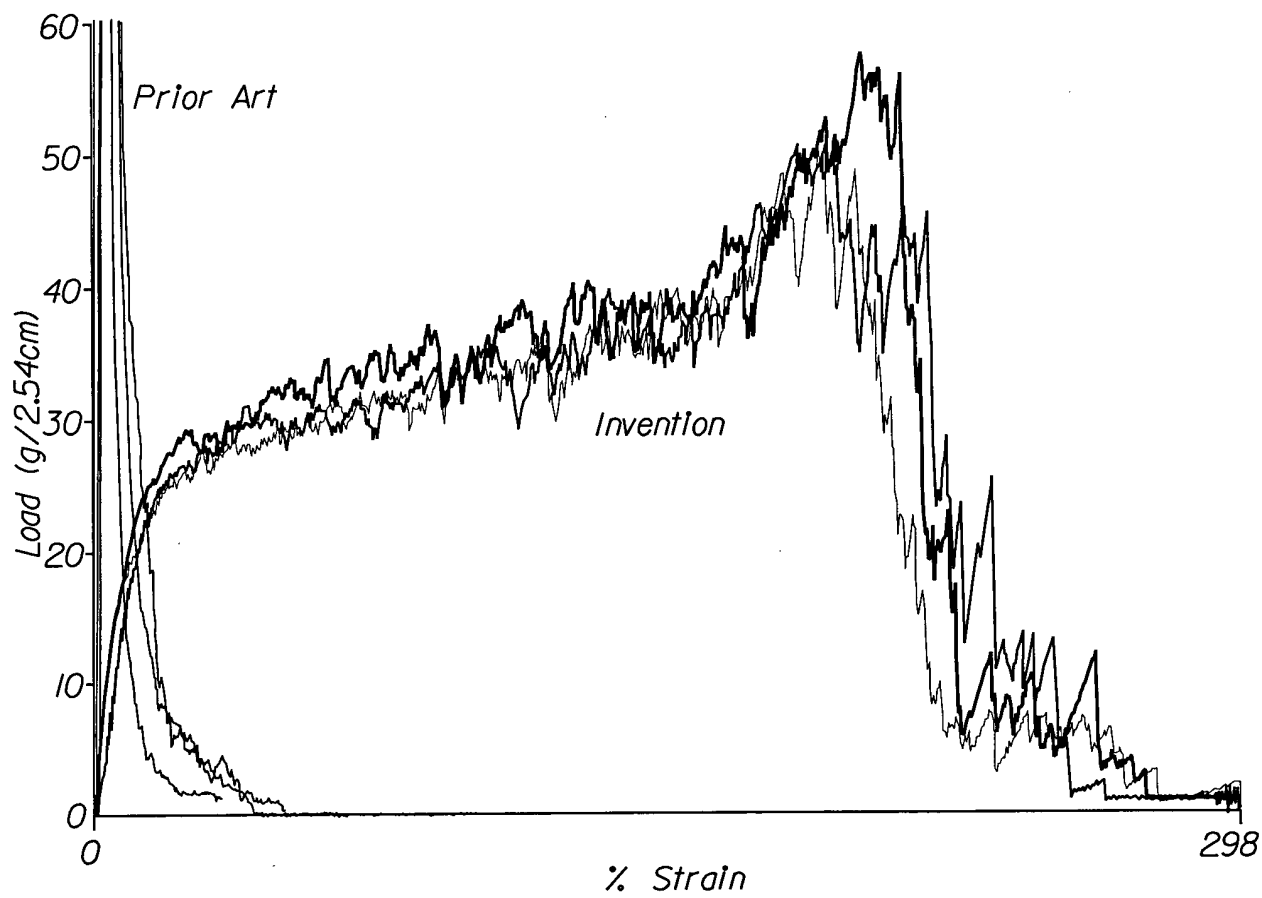


Fig. 13A

14/31

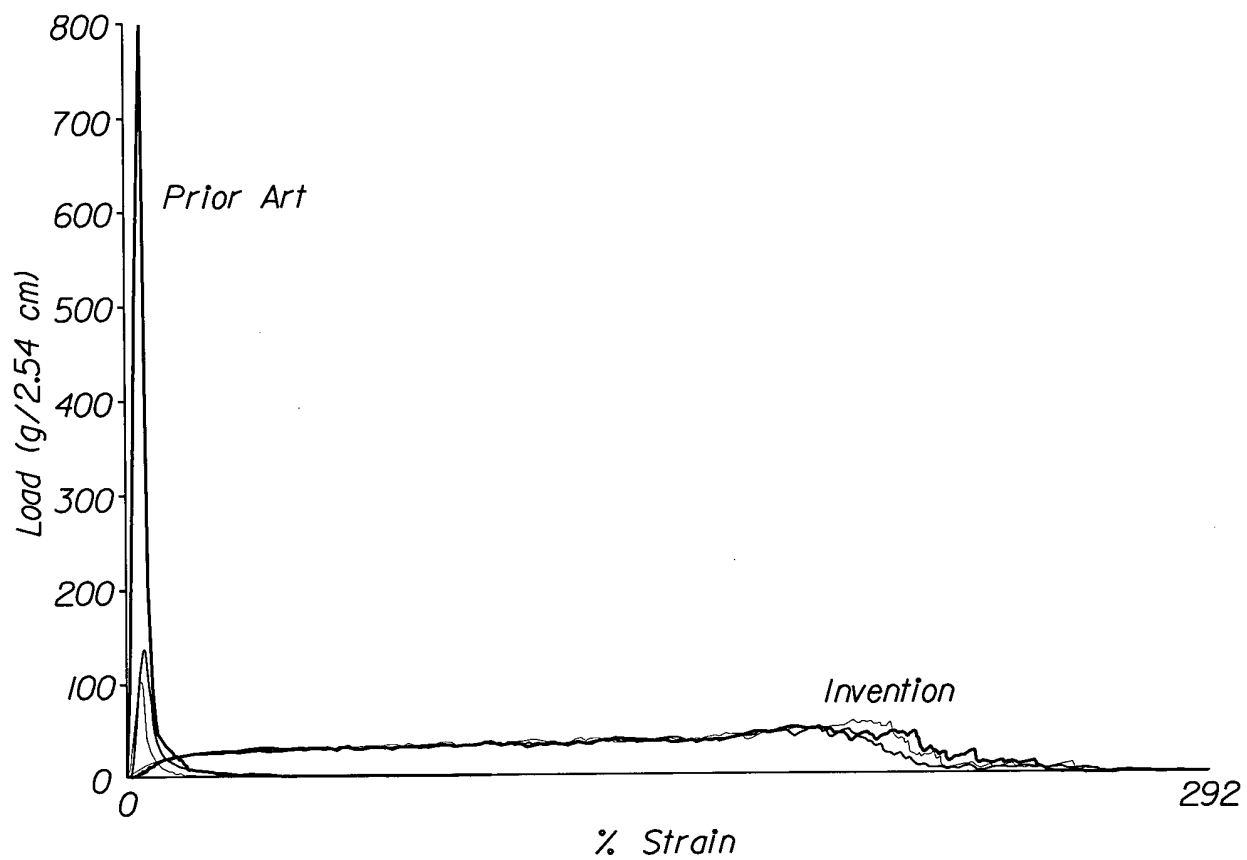


Fig. 13B

15/31

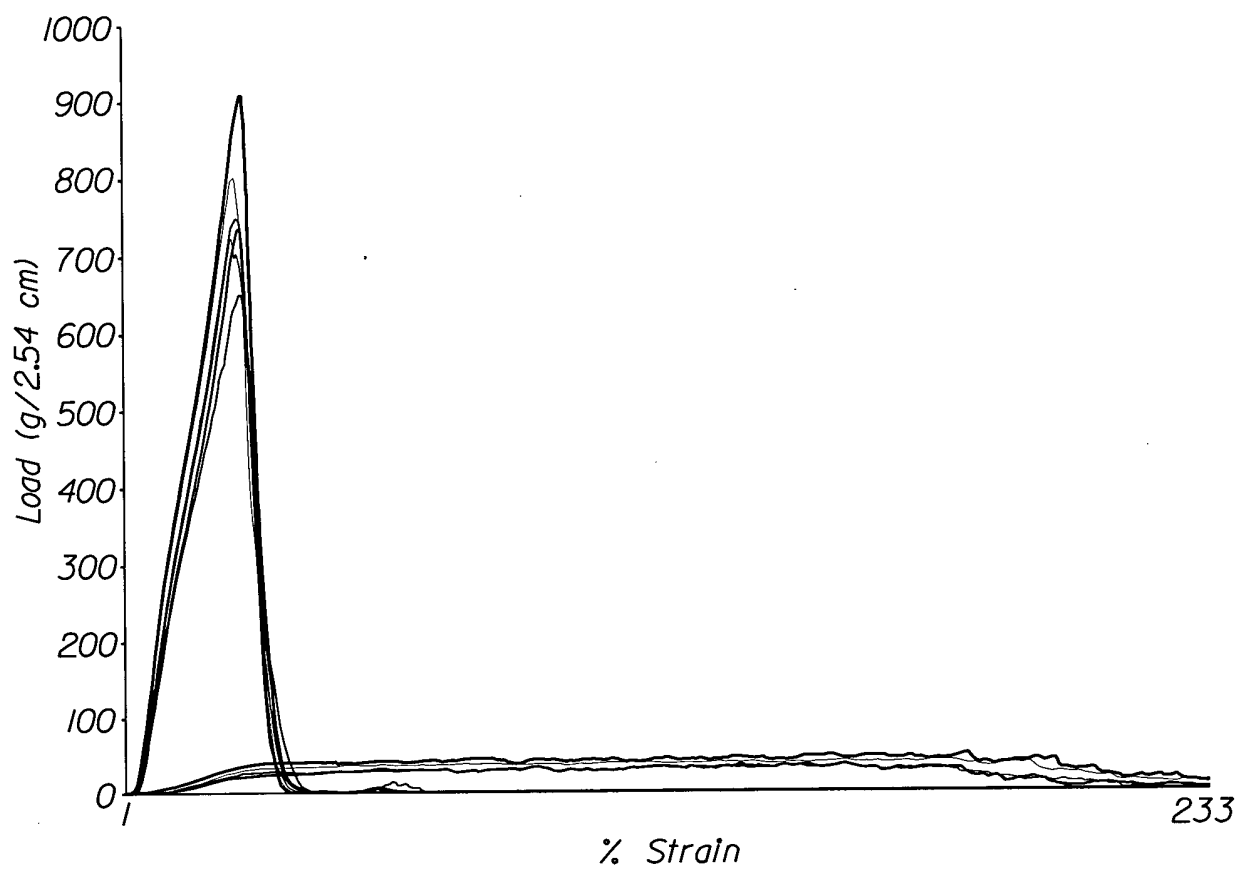


Fig. 14

16/31

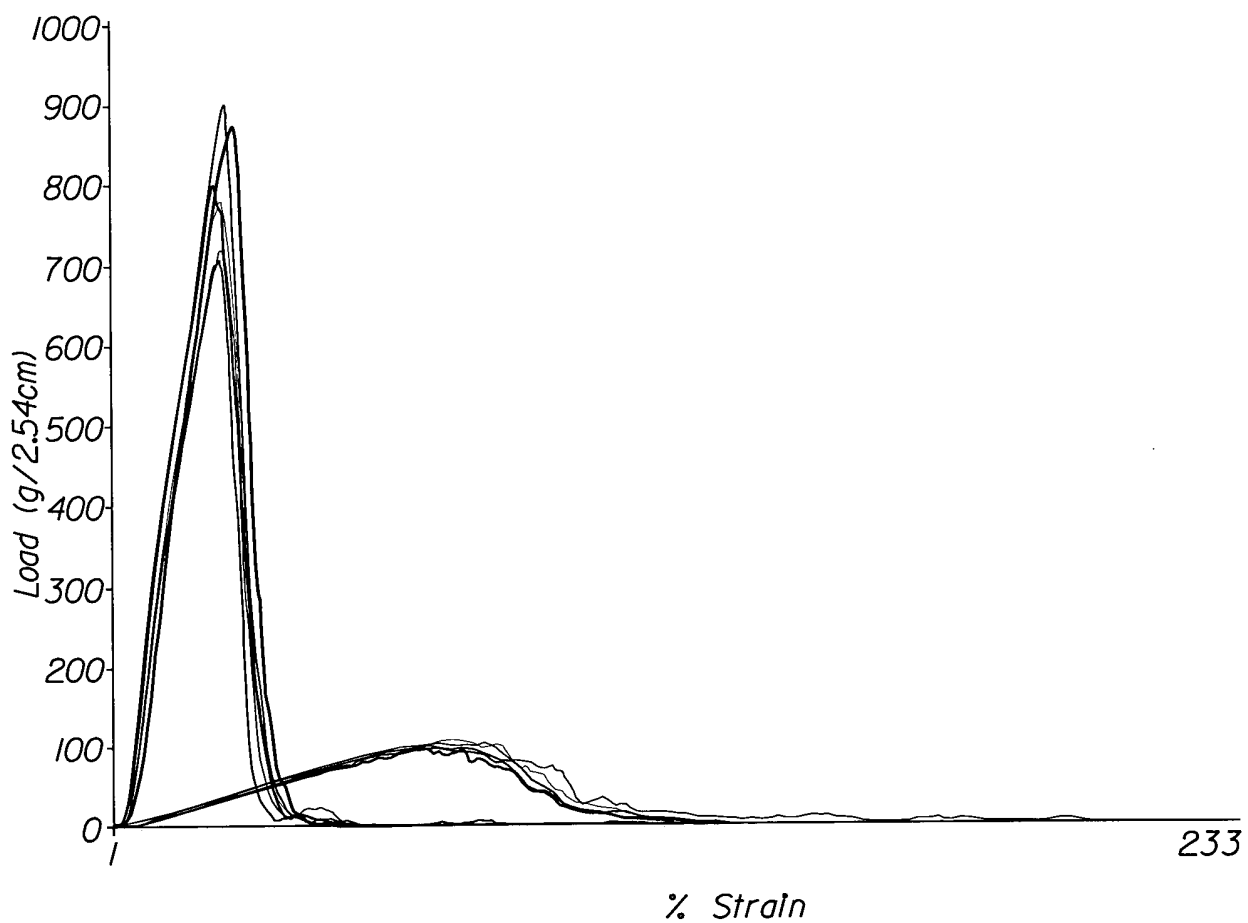


Fig. 15

17/31

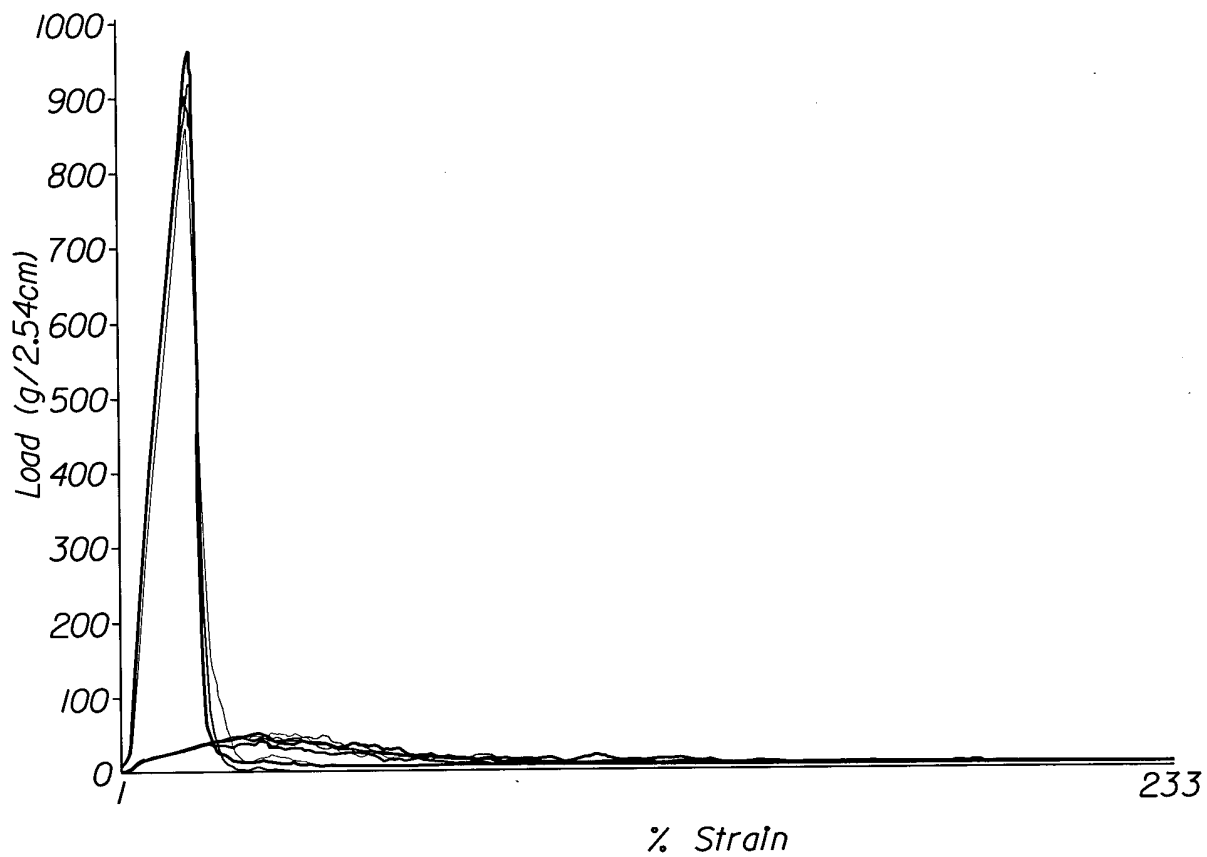


Fig. 16

18/31

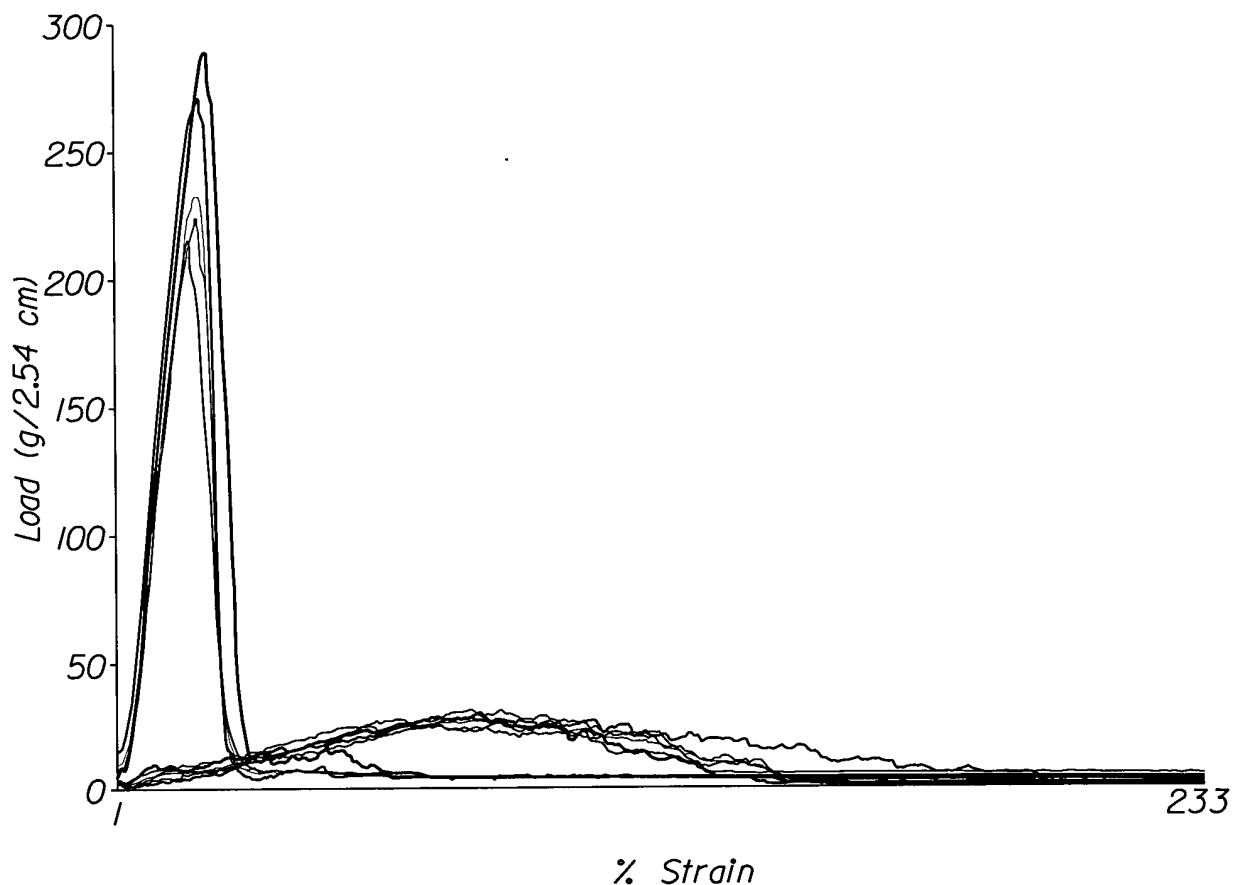


Fig. 17

19/31

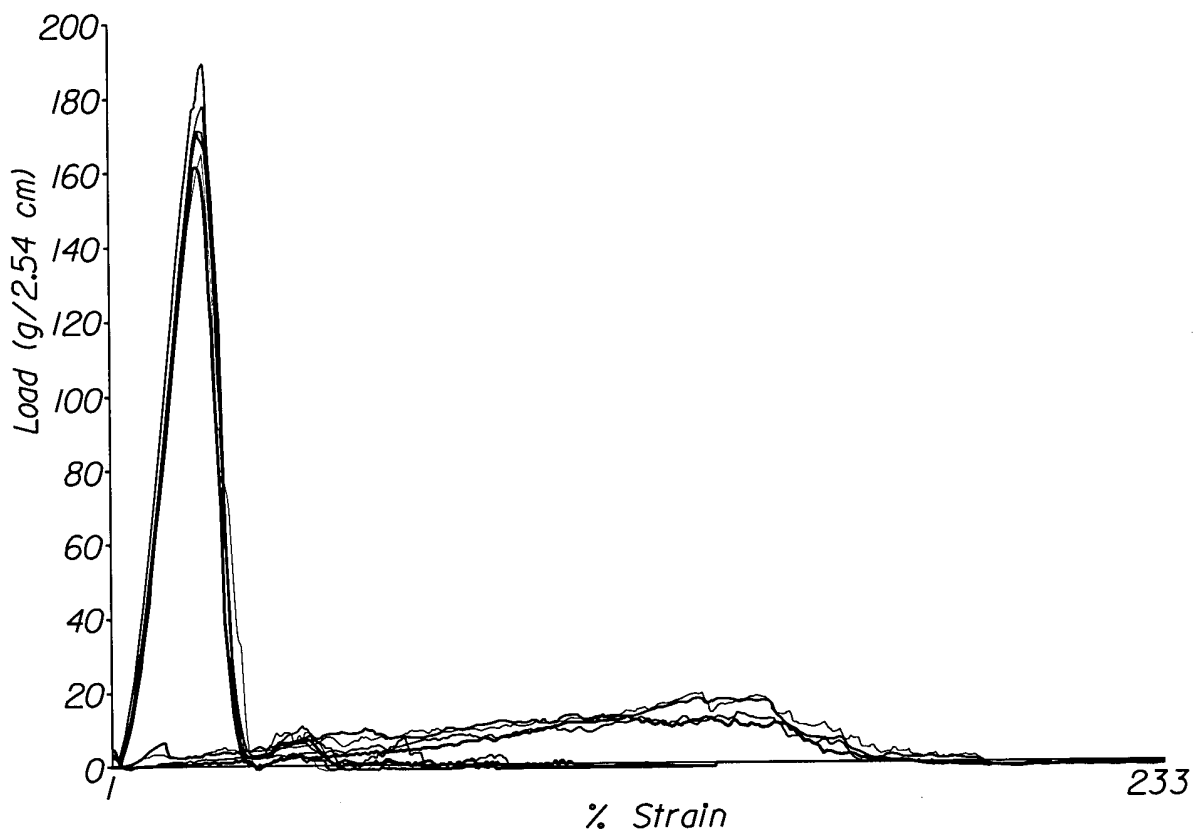


Fig. 18

20/31

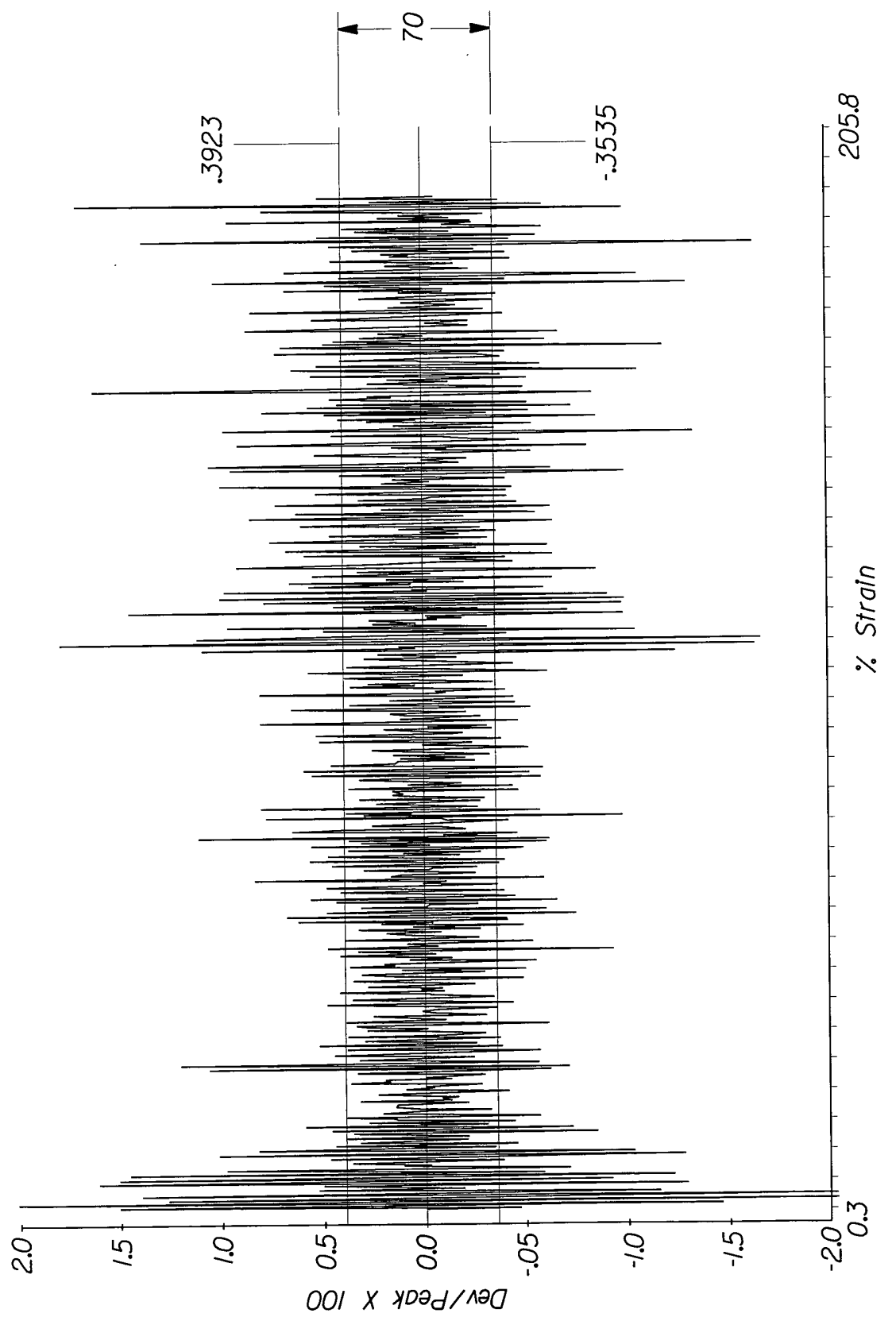


Fig. 19

21/31

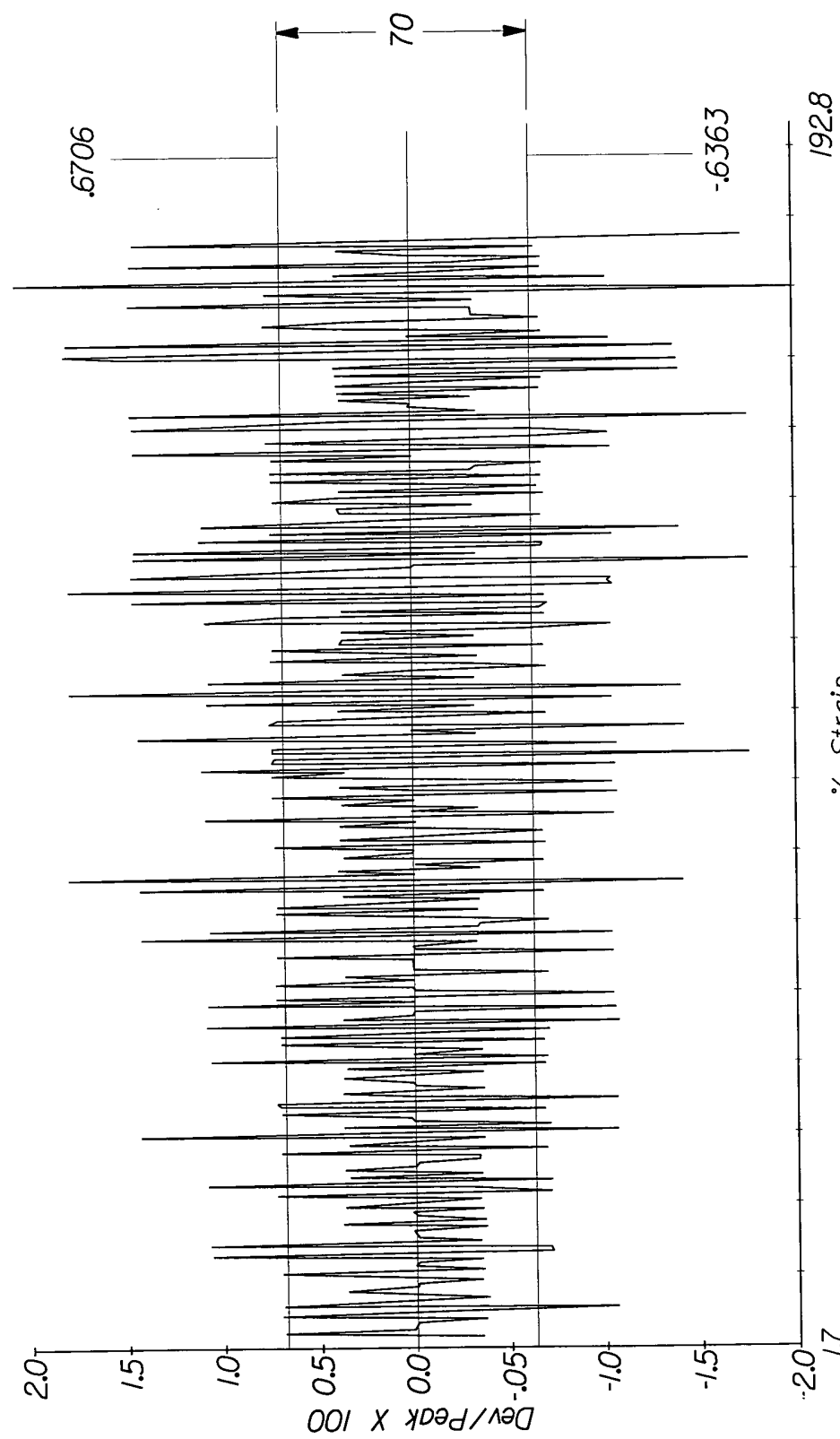


Fig. 20

22/31

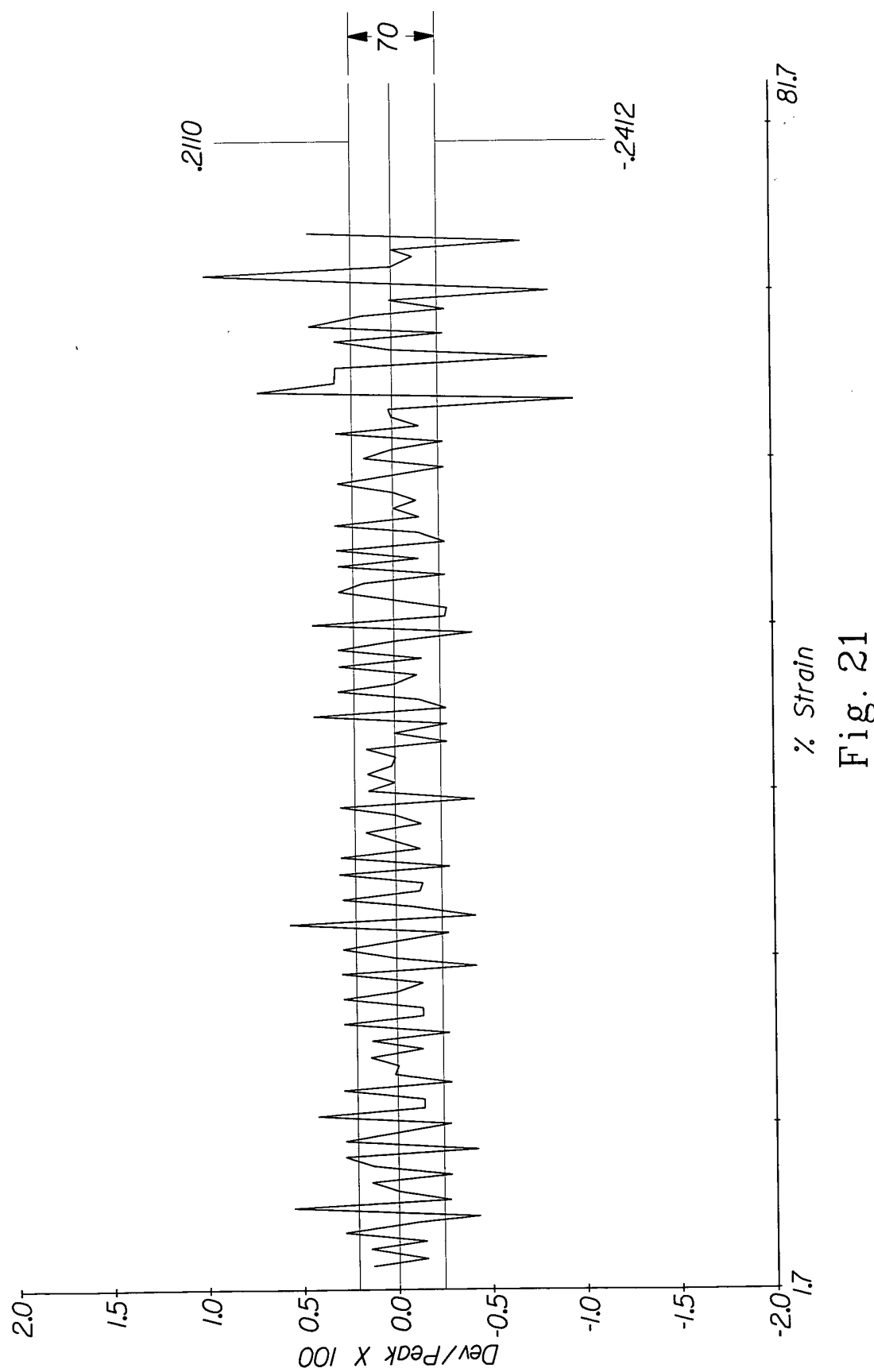


Fig. 21

23/31

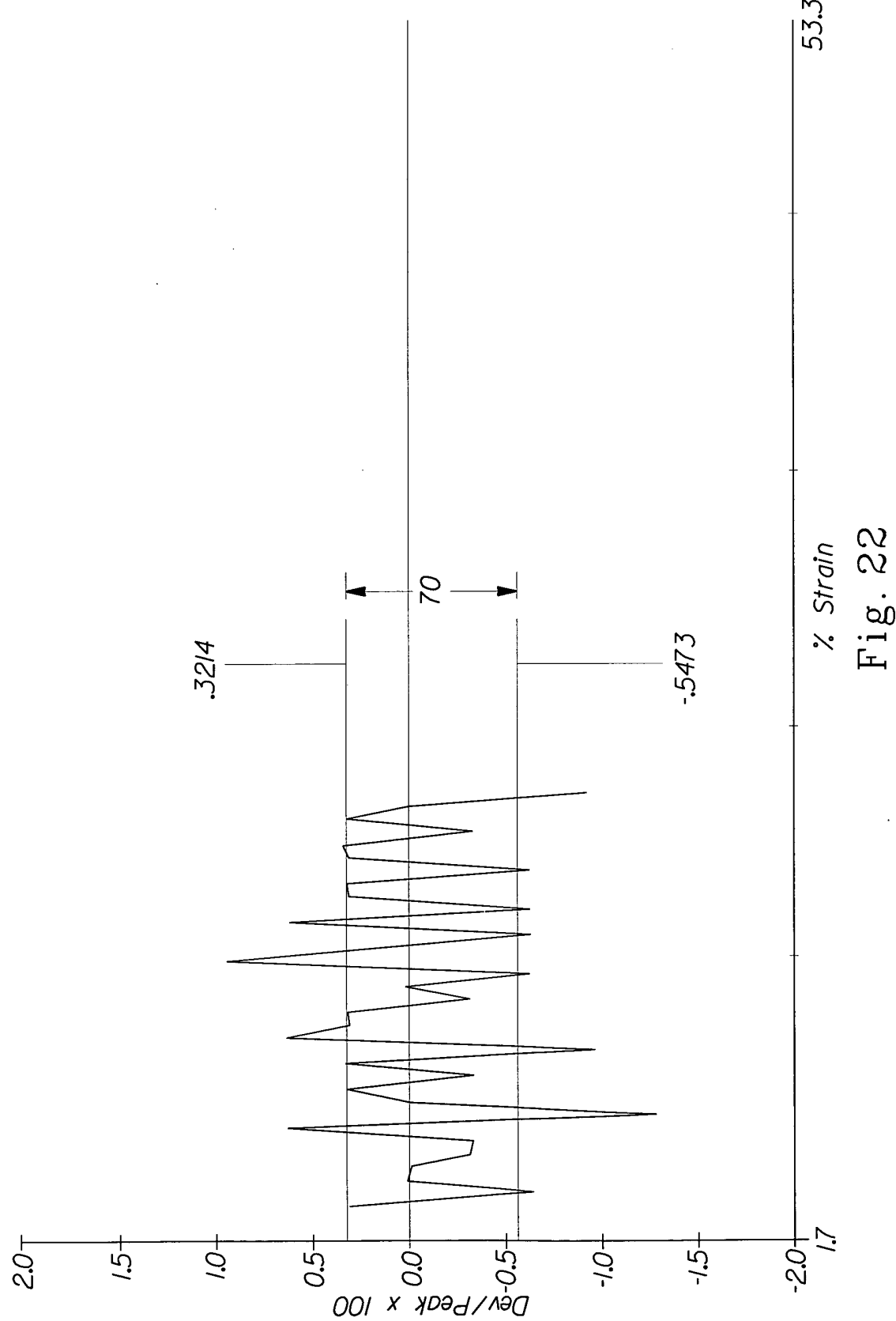
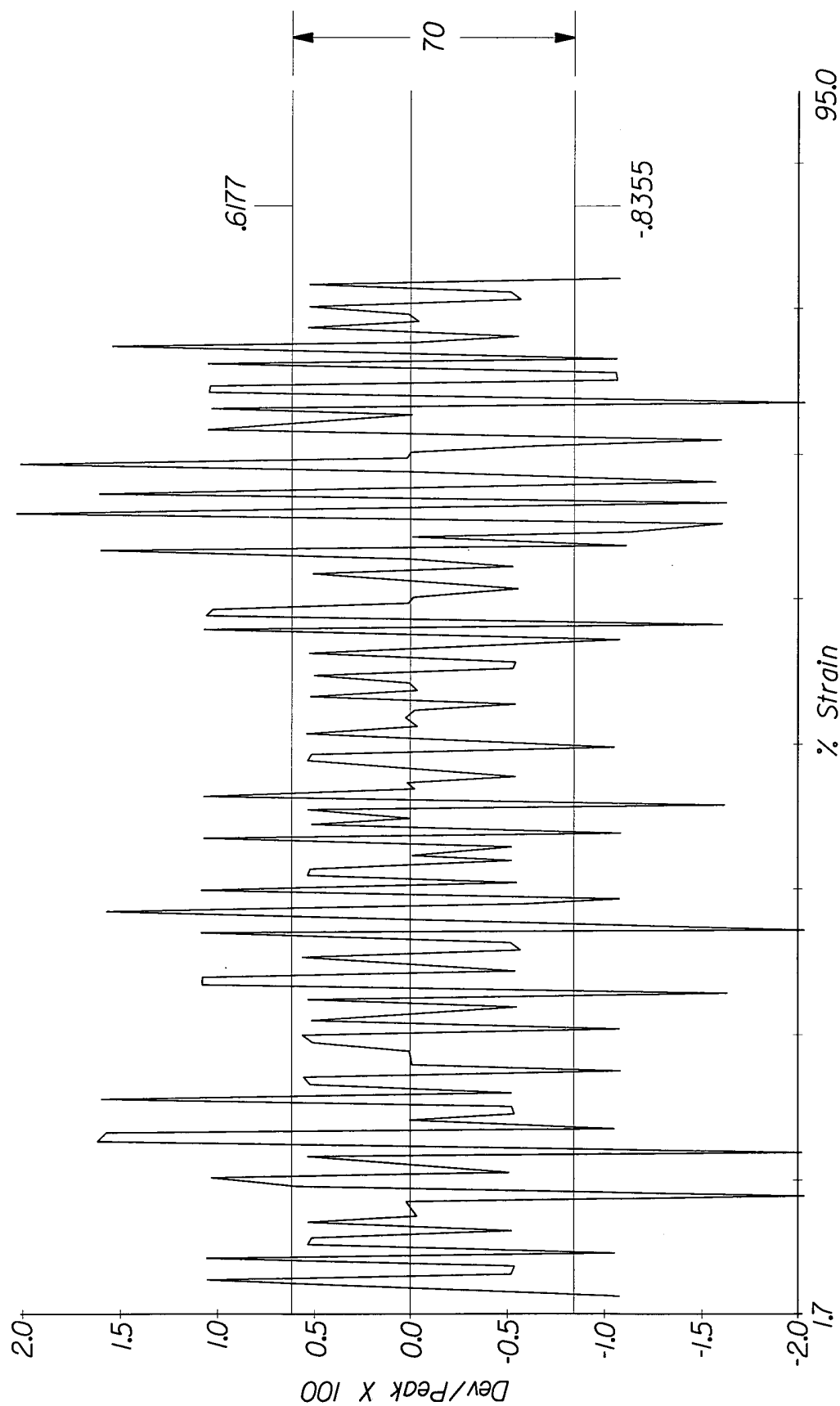


Fig. 22

24/31



25/31

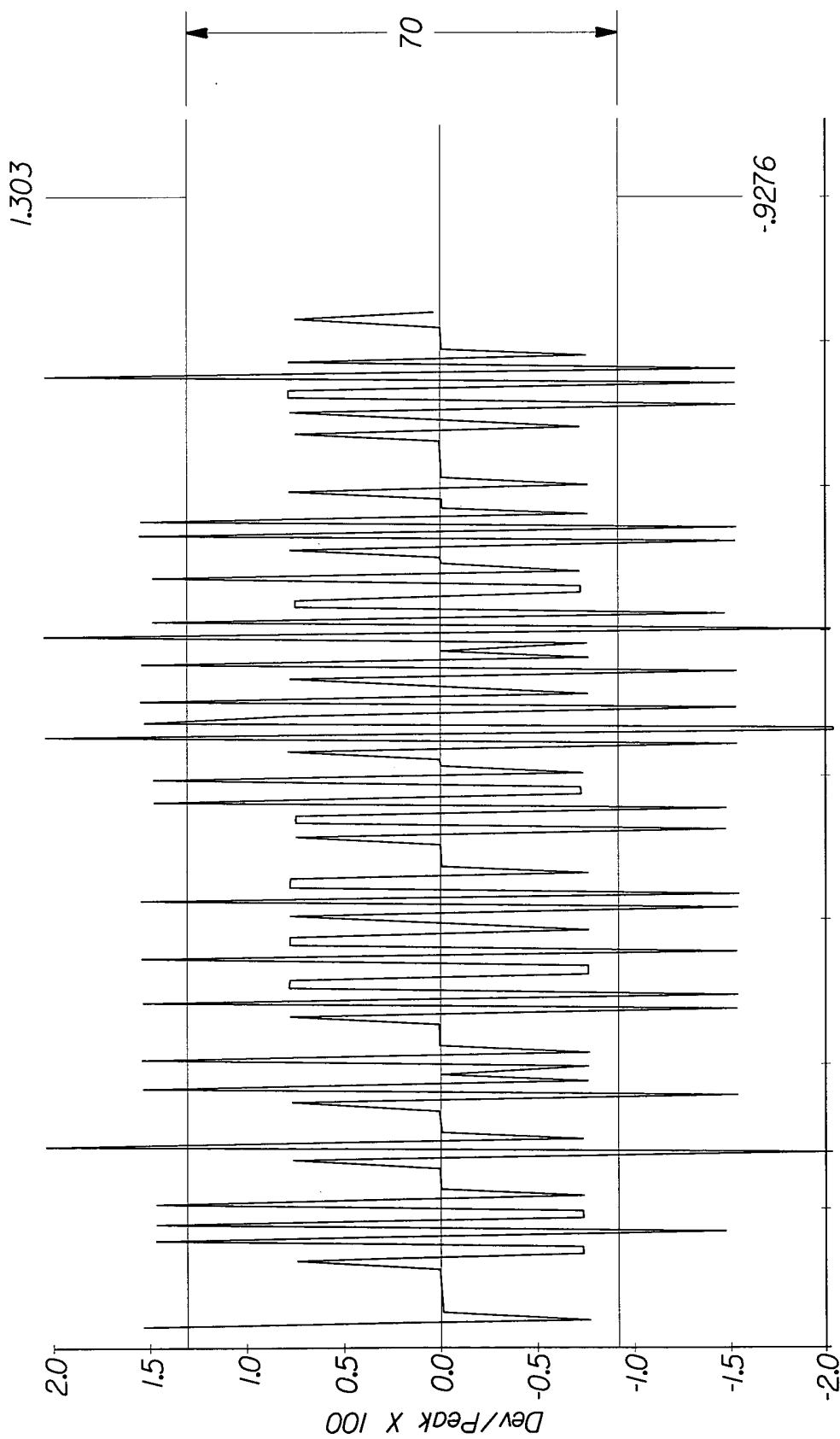


Fig. 24

26/31

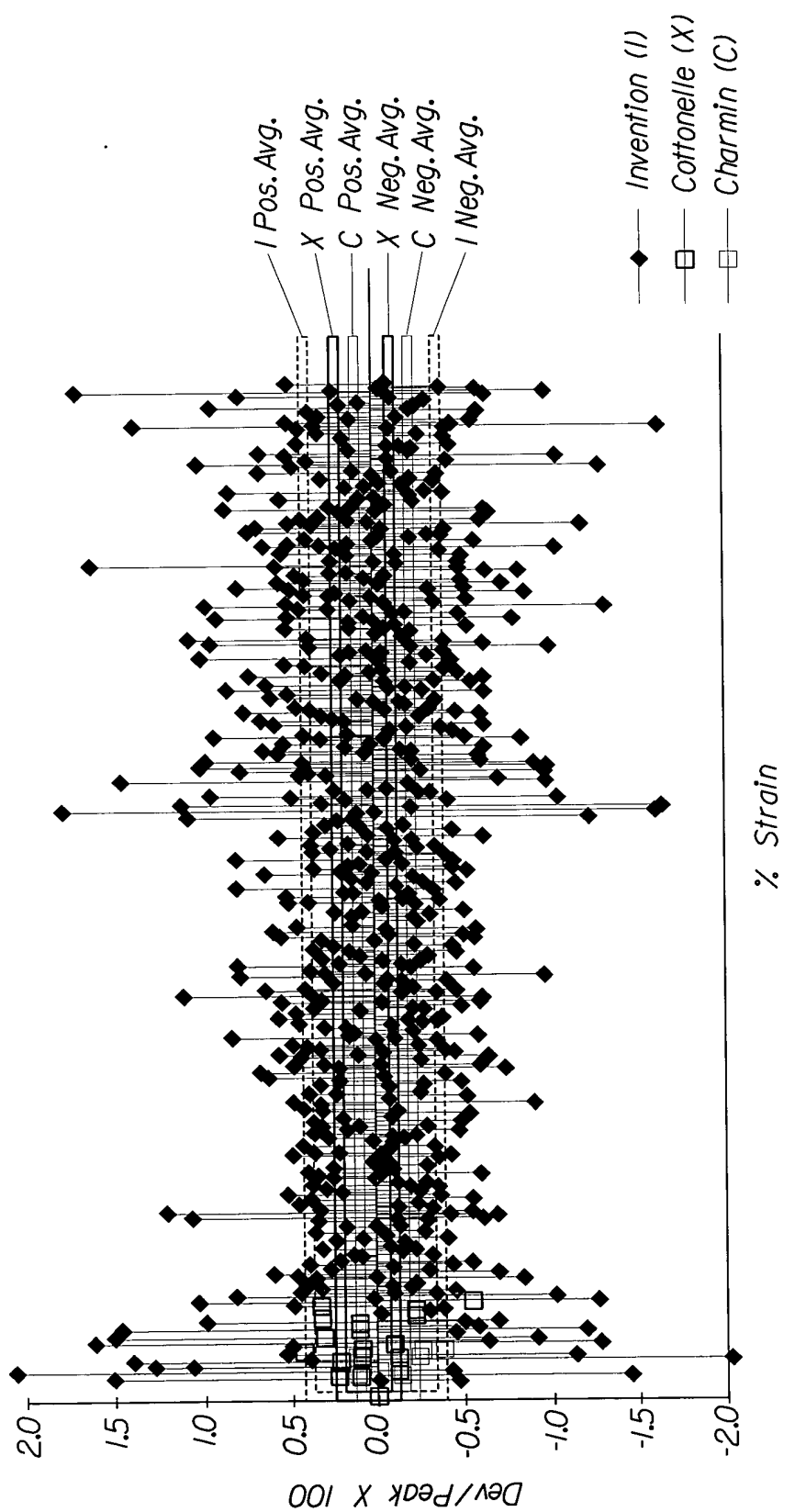


Fig. 25

27/31

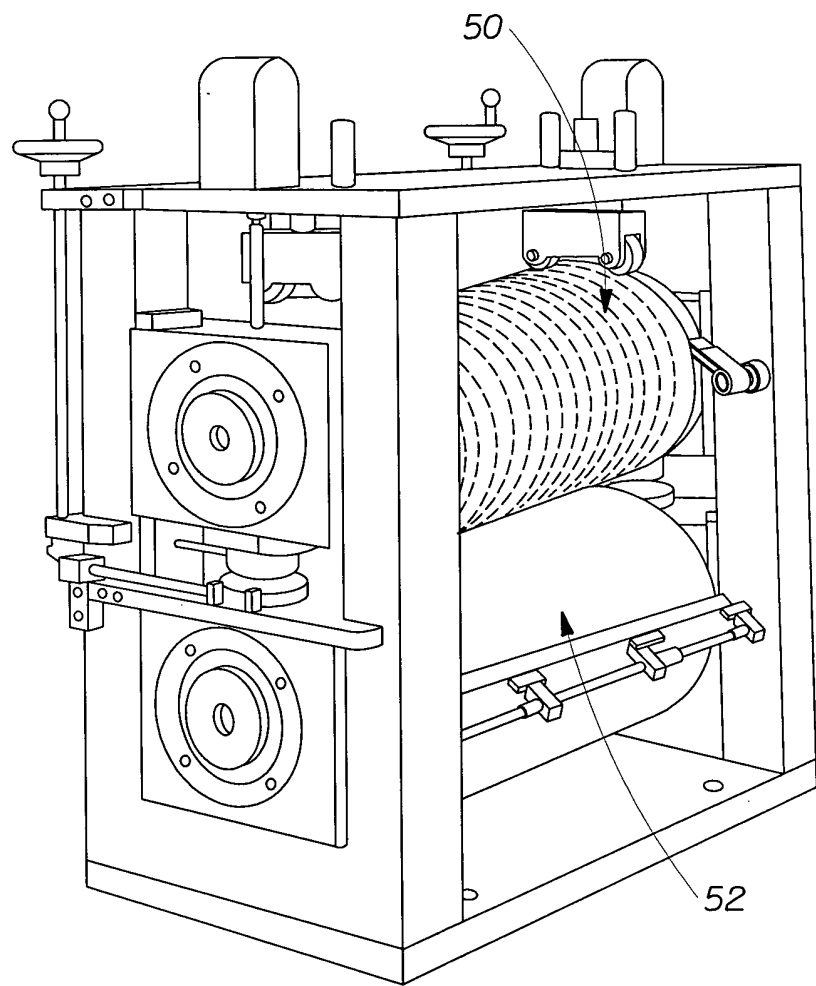


Fig. 26

28/31

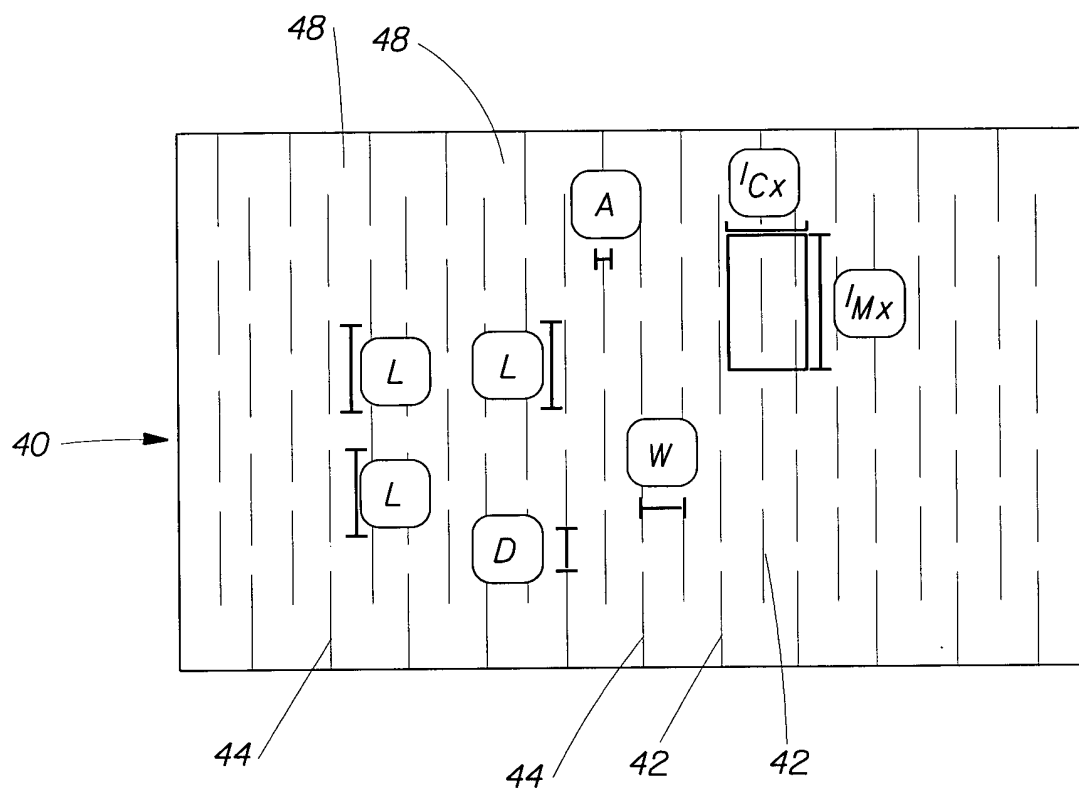


Fig. 27

29/31

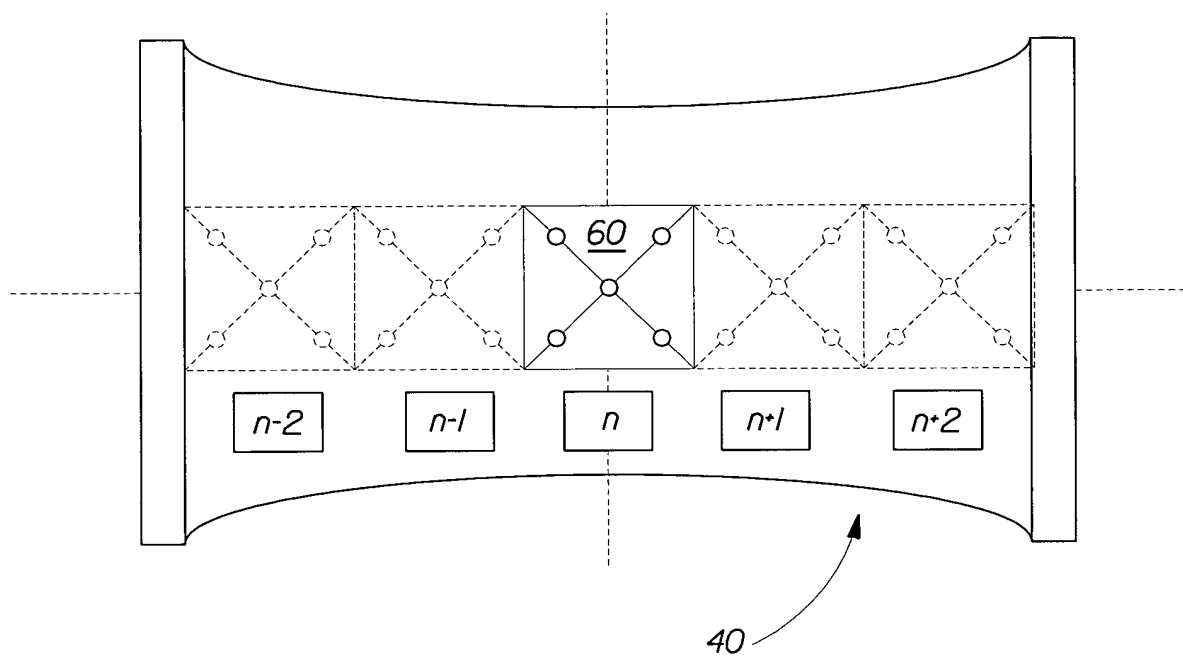


Fig. 28

30/31

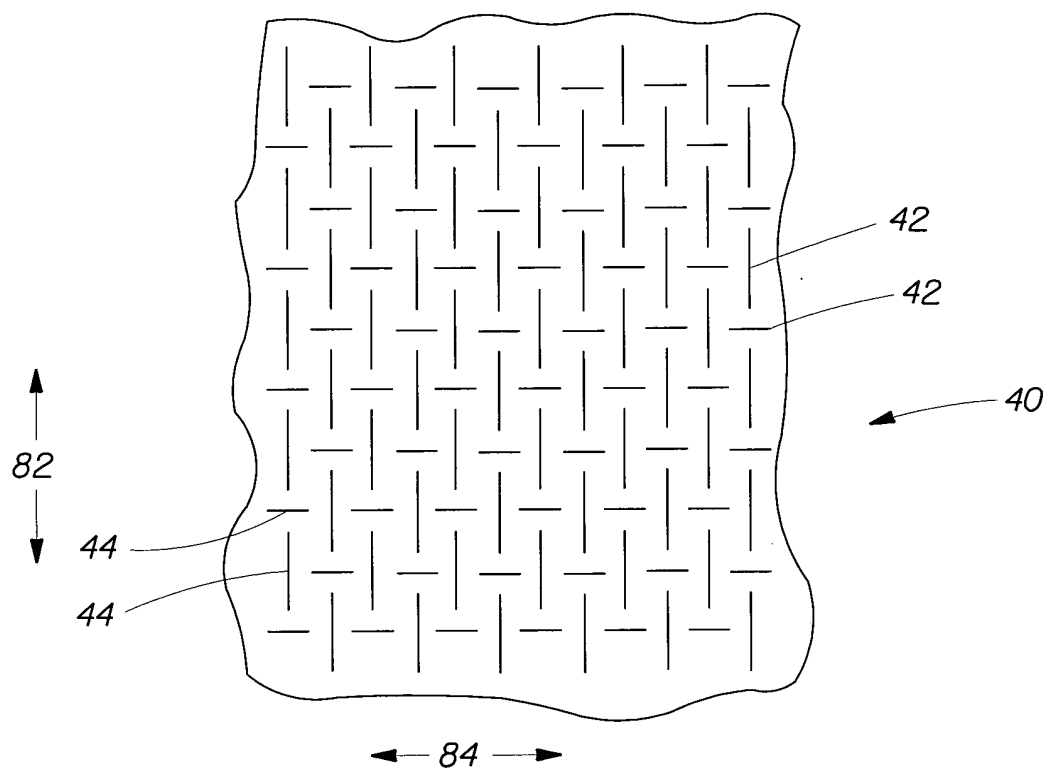


Fig. 29A

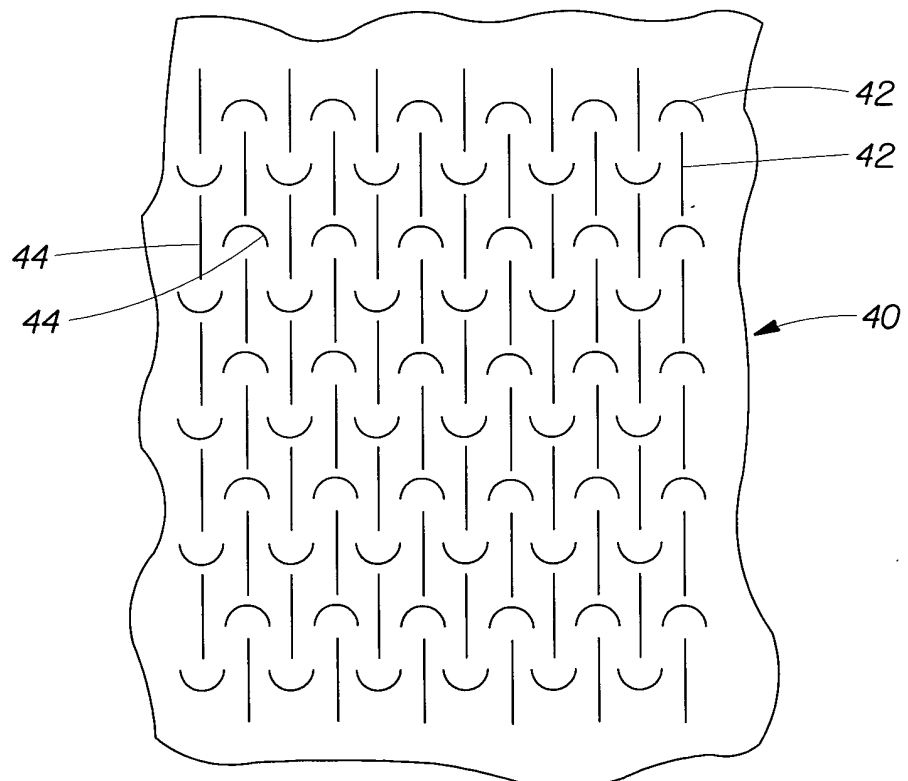


Fig. 29B

31/31

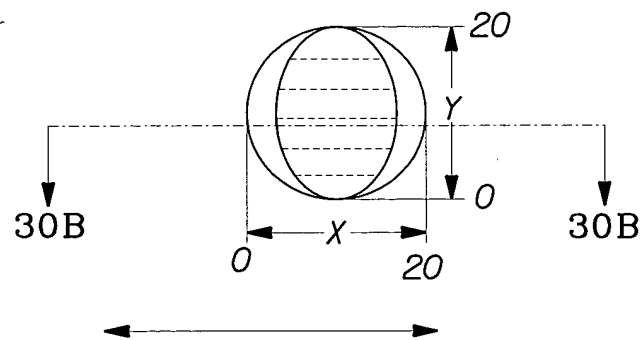


Fig. 30A

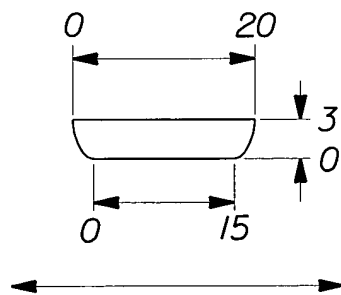


Fig. 30B